



БИООРГАНИЧЕСКАЯ ХИМИЯ

том 1 * №11 * 1975

УДК 577.155.04

МОДИФИКАЦИЯ РИБОНУКЛЕАЗЫ А ПИРИДОКСАЛЬ-5'-ФОСФАТОМ И ЕГО АНАЛОГАМИ*

**Борисова С. Н., Дудкин С. М., Шляпников С. В.,
Аврамова З. В., Карпейский М. Я.**

Институт молекулярной биологии Академии наук СССР,
Москва

Изучено взаимодействие рибонуклеазы А, рибонуклеазы S, рибонуклеазы Р и S-белка с пиридоксаль-Р, а также рибонуклеазы А с 5'-дезокси-5'-карбоксиметиленпиридоксалем, пиридоксаль-5'-сульфатом и 5'-дезокси-5'- этилфосфопиридоксалем. Показано, что специфичность модификации аминогрупп остатков лизинов рибонуклеазы пиридоксаль-Р определяется тремя основными факторами: наличием фосфатного остатка в 5'-положении пиридоксаль-Р; расстоянием между центром связывания фосфата пиридоксаль-Р и модифицируемой аминогруппой; стабильностью продуктов реакции, определяемой локальным белковым окружением. Предложен механизм модификации ε-аминогрупп остатков лизинов, расположенных вблизи активного центра ферментов, катализирующих превращение производных фосфорной кислоты.

Эффективным подходом к исследованию структуры и функции ферментов является метод химической модификации. Практически единственным известным реагентом, позволяющим селективно модифицировать ε-NH₂-группу лизинов в нативной молекуле белка, является пиридоксаль-Р [1]. В последнее время он нашел широкое применение для модификации ε-NH₂-групп остатков лизинов, находящихся в зоне активного центра ферментов, катализирующих те или иные превращения производных фосфорной кислоты [2—5]. Интерес к пиридоксаль-Р как к модифицирующему агенту обусловлен еще и тем, что в спектрах поглощения производных витамина В₆, к которым относится пиридоксаль-Р, присутствуют полосы поглощения в области 300—450 нм, не перекрывающиеся с областью поглощения хромофоров самого белка [6]. Спектральные свойства этих соединений хорошо изучены в модельных системах, что дает возможность использовать их в качестве репортерных групп [7].

Однако причины избирательности реакции пиридоксаль-Р с ε-NH₂-группами остатков лизина, локализованными в области активного центра ферментов, к настоящему времени не ясны. Специфичность модификации белков пиридоксаль-Р при нейтральных значениях pH может определяться двумя основными факторами: наличием ионизированной фосфатной группы

* Сокращения: пиридоксаль-Р — пиридоксаль-5'-fosfat; пиридоксаль-См — 5'-дезокси-5'-карбоксиметиленпиридоксаль (I), пиридоксаль-S — пиридоксаль-5'-сульфат (II), пиридоксаль-Et-P — 5'-дезокси-5'-этилфосфопиридоксаль (III), РНКаза А — рибонуклеаза А, РНКаза S — рибонуклеаза А с расщепленной субтилизином связью между 20 и 21 аминокислотными остатками, S-цептид — пептид 1—20 в первичной структуре рибонуклеазы А, S-белок — рибонуклеаза А без S-пептида, РНКаза Р — рибонуклеаза А без четырех C-концевых аминокислотных остатков (121—124), отщепленных пепсином, Р-Rxy — фосфопиридоксильный остаток.

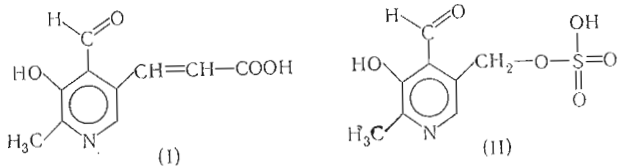
в 5'-положении пиридоксаль-Р и расстоянием между фосфатсвязывающим центром белка и модифицируемой ϵ -NH₂-группой.

По-видимому, механизм селективности может быть понят, если будет проведено детальное исследование взаимодействия пиридоксаль-Р и его аналогов с ферментами с использованием как данных о характере этой реакции в модельных системах, так и данных о характере модифицируемых групп фермента.

Целью настоящей работы является изучение роли отдельных факторов, определяющих специфичность взаимодействия пиридоксал-Р с РНКазой А в области нейтральных значений pH, когда модификации подвергаются находящиеся в зоне активного центра ϵ -аминогруппы Lys-7 и Lys-41 [8, 9].

При изучении строения фосфопиридиоксил-РНКазы А, модифицированной по ε -NH₂-группам Lys-7 или Lys-41, было показано, что в обоих случаях остаток фосфата локализован в активном центре фермента вблизи имидазольных циклов His-12 и His-119 [7]. Этот результат, а также тот факт, что образование альдиминного комплекса ингибируется фосфатом [8] и цитидин-2'(3')-fosфатом [9], позволяют предположить, что первой стадией процесса модификации является фиксация фосфатного остатка пиридоксаль-Р в катионном участке активного центра РНКазы А. Для подтверждения сделанного вывода мы изучили спектры протонного магнитного резонанса (ПМР) комплекса РНКазы А с пиридоксаль-Р при различных значениях pH (рис. 1). Из рис. 1 видно, что комплексообразование сопровождается повышением р $K_{акт}$ His-12 и His-119 до значений р K , характерных для комплекса РНКазы А с фосфатом [10]. Следовательно, при комплексообразовании фосфатная группа пиридоксаль-Р связывается в катионном участке активного центра фермента, который согласно данным рентгеноструктурного анализа формируется за счет His-12, His-119, Lys-7 и Lys-41 [11].

Чтобы установить, является ли присутствие в молекуле пиридоксаль-Р остатка фосфата необходимым условием селективности модификации, мы исследовали взаимодействие РНКазы А с пиридоксаль-См (I) и пиридоксаль-С (II).



Как и в случае пиридоксаль-Р, взаимодействие пиридоксаль-См с РНКазой А приводит к $\approx 60\%$ инактивации фермента (рис. 2), что указывает на модификацию остатков лизинов, входящих в активный центр фермента [12]. Однако значение константы ассоциации пиридоксаль-См с активным центром РНКазы А существенно меньше соответствующего значения константы для пиридоксаль-Р и вследствие этого реакция пиридоксаль-См с РНКазой А теряет специфичность, присущую реакции, в которой участвует пиридоксаль-Р (рис. 2, 3). Аналогичные результаты были получены при исследовании взаимодействия РНКазы А с пиридоксаль-С.

Рассмотрение молекулярных моделей пиридохсаль-Р, пиридохсаль-См и пиридохсаль-С показывает, что существуют такие конформации молекулы пиридохсаль-Р, в которых фосфатная группа совмещается с карбоксильной группой пиридохсаль-См и сульфогруппой пиридохсаль-С. Следовательно, основным фактором, нарушающим специфичность действия изученных аналогов, является замена двухзаряженного остатка фосфата на монозаряженные карбоксильную или сульфогруппу. Полученные результаты согласуются с данными ПМР, из которых следует, что ион ацетата обладает низкой специфичностью к активному центру РНКазы А [13], а ион сульфата связывается неидентично иону фосфата [10].

На основании представленных экспериментальных данных можно полагать, что специфичность взаимодействия пиридоксаль-Р с ϵ -NH₂-группами остатков лизинов РНКазы А определяется фиксированием дианиона фосфата реагента в фосфатсвязывающим участке активного центра фермента. Ранее для фосфопиридоксильных производных РНКазы А по ϵ -NH₂-группам Lys-7 и Lys-41 было показано, что помимо взаимодействия остатка фосфата с His-12 и His-119 осуществляется также электростатическое взаимодействие фенольного гидроксила пиридоксина-Р с гуанидиниевой группой Arg-39 [12]. По-видимому, такое же взаимодействие осуществляется и в комплексе РНКазы А с пиридоксаль-Р, фиксированном в активном центре фермента.

Таким образом, первая стадия реакции, приводящая к специфической мо-

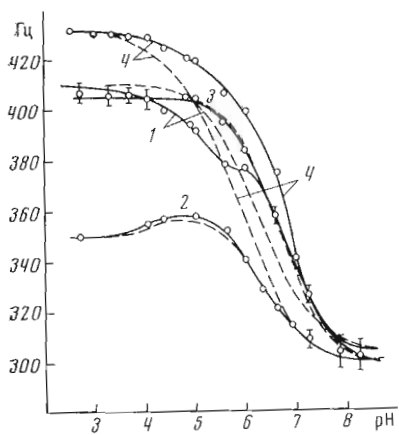


Рис. 1

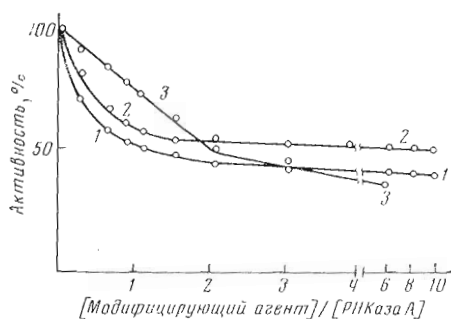


Рис. 2

Рис. 1. Кривые титрования остатков гистидина РНКазы А (штриховые) ($5 \cdot 10^{-3}$ М) и ее комплекса с пиридоксаль-Р (сплошные), соотношение 1 : 3 : 1 — кривая титрования His-119, 2 — His-48, 3 — His-105 и 4 — His-12. На координатных осях отложены величина химического сдвига C2-Н имидазольного цикла гистидина, выраженная в герцах относительно сигнала НOD, и величина pH, измеренная без поправки на изотопный эффект. $rK_{\text{как}}$ остатков гистидина в комплексе РНКазы А — пиридоксаль-Р равны (в скобках приведены $rK_{\text{как}}$ для свободной РНКазы А): His-12 — 6,7(6,0), His-48 — 6,4 (6,4), His-105 — 6,7(6,7), His-119 — 6,95(6,3). Измерения проводили в растворе 0,2 М NaCl

Рис. 2. Инактивация РНКазы А пиридоксаль-Р (1), пиридоксаль-Ет-Р (2) и пиридоксаль-См (3). РНКазу А ($0,75 \cdot 10^{-3}$ М) в 0,05 М натрий-ацетатном буфере (рН 5,5) инкубировали 15 мин при 20° в присутствии пиридоксаль-Р и его аналогов в различных концентрациях. Ферментативную активность определяли после восстановления продуктов реакции NaBH₄ [9]

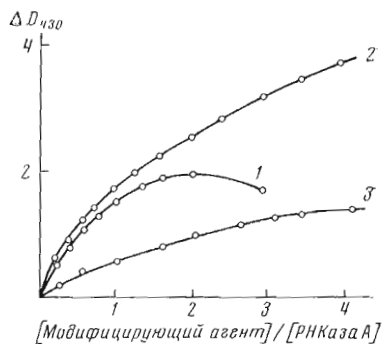


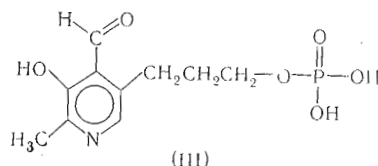
Рис. 3

Рис. 3. Спектрометрическое титрование РНКазы А пиридоксаль-Р (1), пиридоксаль-Ет-Р (2), пиридоксаль-См (3). На оси ординат отложена величина амплитуды разностного спектра поглощения при 430 нм, возникающего при комплексообразовании. Концентрация РНКазы А $0,75 \cdot 10^{-3}$ М. Комплексообразование проводили в 0,05 М натрий-ацетатном буфере (рН 5,5) при 20°. Запись спектров проводили через 15 мин после смешения компонентов

дификации ϵ -NH₂-групп Lys-7 и Lys-41, заключается в образовании комплекса пиридоксаль-Р — РНКаза А аналогично тому, как при взаимодействии субстрата с ферментом образуется комплекс Михаэлиса. В результате пиридоксаль-Р за счет многоточечного связывания фиксируется в ак-

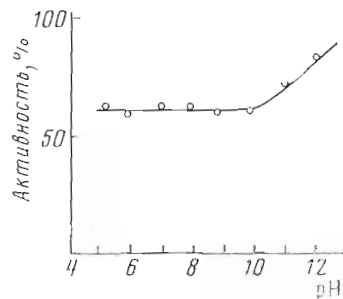
тивном центре фермента и создается вынужденное сближение $\varepsilon\text{-NH}_2$ -группы белка и альдегидной группы реагента, приводящее также к стабилизации продукта реакции — альдимиинного комплекса. Сделанный вывод хорошо согласуется с экспериментальными данными, полученными ранее. При исследовании взаимодействия пиридоксаль-Р с РНКазой А методом равновесной гель-фильтрации было показано, что при pH 5,5 константа диссоциации комплекса, определенная по изменению оптической плотности при 388 нм (полоса поглощения пиридоксаль-Р), составляет $\approx 2 \cdot 10^{-5}$ М [19].

Для того чтобы выяснить, какую роль при специфической модификации РНКазы А играет расстояние между фосфатной и альдегидной группами реагента, мы изучили взаимодействие РНКазы А с пиридоксаль-Et-P (III).



Так же как пиридоксаль-Р, пиридоксаль-Et-P вызывает $\approx 60\%$ инактивацию фермента (рис. 2), однако в отличие от пиридоксаль-Cm, максимальная инактивация наблюдается при соотношении реагента с РНКазой А 1:1. При дальнейшем увеличении концентрации пиридоксаль-Et-P, как и в случае пиридоксаль-Р и пиридоксаль-Cm, наблюдается неспецифическая модификация фермента, не приводящая к существенному уменьшению его активности (рис. 2, 3). Аналогично комплекс РНКазы А с пиридоксаль-Р [8] комплекс фермента с пиридоксаль-Et-P существует при pH 5—9, причем в этом интервале значений pH его структура, по-видимому, сохраняется, на что указывает постоянная величина степени инактивации РНКазы А (рис. 4). Хроматографическое разделение эквимолярной смеси РНКазы А и пиридоксаль-Et-P, обработанной NaBH_4 (рис. 5), показывает, что процент прореагировавшего фермента сравним с таковым для реакции РНКазы А с пиридоксаль-Р ($\approx 85\%$) [19]. Около 60% продуктов реакции (рис. 5, пики 1—5) обладают каталитической активностью от 50 до 70%.

Рис. 4. Инактивация РНКазы А в присутствии эквимолярных количеств пиридоксаль-Et-P при различных значениях pH. Реакцию проводили в растворе 0,2 М NaCl. Нужное значение pH получали, титруя реакционную смесь 0,1 М HCl или 0,1 М NaOH. Ферментативную активность измеряли после восстановления NaBH_4 [19]



Фракция модифицированного фермента, соответствующая пику 6, полностью неактивна и составляет 25% от общего количества РНКазы А. Молярное соотношение ковалентно связанного пиридоксаль-Et-P к РНКазе А в фракции 6 равно 1 : 1. По хроматографической подвижности, количеству молекул пиридоксаль-Et-P, связанной с белком, и каталитической активности фракция 6 соответствует РНКазе А, модифицированной пиридоксаль-Р по $\varepsilon\text{-NH}_2$ -группе Lys-41 [19]. При гидролизе модифицированной РНКазы А из фракции 6 субтилизином был получен белок — производное РНКазы S, который при хроматографии на сепадексе G-75 в 5%-ной муравьиной кислоте делится на S-белок, содержащий хромофорную метку, и немеченный S-пептид. Предположение о том, что фракция 6 содержит РНКазу А, модифицированную по Lys-41, подтверждается также тем фак-

тому, что образование этого продукта полностью ингибируется 2' (3')-СМР при соотношении фермент — ингибитор 1 : 10.

Таким образом, введение дополнительного $-\text{CH}_2-\text{CH}_2-$ -звена в 5'-положение пиридоксаль-Р практически не сказывается на специфичности реакции.

Рассмотрение молекулярных моделей пиридоксаль-Р и пиридоксаль-Et-Р показало, что существуют конформации, в которых фосфатная и альдегидная группы обоих соединений могут быть совмещены. Следовательно, полученные результаты указывают на то, что специфичность модификации аминогруппы пиридоксаль-Р определяется расстоянием между фосфатным остатком реагента, связанным в катионном центре фермента, и модифицируемой группой, а не расстоянием между фосфатом и альдегидной группой пиридоксаль-Р.

Для того чтобы определить, какое расстояние между фиксированным остатком фосфата в комплексе ингибитор — белок и модифицируемой аминогруппой лизина является оптимальным для реакции, мы изучили взаимодействие пиридоксаль-Р с РНКазой S. В работе Карлайла и соавт. [14] было показано, что расстояние между центрами фосфата, связанного в активном центре фермента, и $\epsilon\text{-NH}_2$ -группы Lys-7 в РНКазе S и РНКазе A существенно отличаются. В РНКазе S оно составляет $\approx 8 \text{ \AA}$, а в РНКазе A — около 5 \AA . При этом расстояние $\epsilon\text{-NH}_2$ -группы Lys-41 от фосфатсвязывающего центра в обоих белках одинаково и составляет $\approx 7 \text{ \AA}$. Кроме того, из данных, полученных при исследовании взаимодействия РНКазы A и РНКазы S с фосфат-ионом методом ПМР было показано, что фосфат в активном центре РНКазы A и РНКазы S связывается одинаково [10]. По-видимому, при реакции РНКазы S с пиридоксаль-Р, так же как и в случае РНКазы A [9], модифицируется $\epsilon\text{-NH}_2$ -группа Lys-7 и Lys-41 (рис. 6), однако соотношение продуктов меняется. Гетерогенный компонент 1 на рис. 6 составляет не более 10%, а компонент 2, содержащий РНКазу S, модифицированную по $\epsilon\text{-NH}_2$ -группе Lys-7 — около 50%. В то же время фракция, содержащая фермент, модифицированный по $\epsilon\text{-NH}_2$ -группе Lys-41 (компонент 3) составляет не более 15% от общего количества РНКазы S. Таким образом, очевидно, что пиридоксаль-Р может селективно модифицировать аминогруппы, находящиеся на расстоянии до 8 \AA от фосфатсвязывающего центра фермента. Разная степень модификации $\epsilon\text{-NH}_2$ -группы Lys-7 и Lys-41, находящихся на практически одинаковом расстоянии от фосфатсвязывающего центра РНКазы S, указывает на то, что специфичность модификации определяется не только расстоянием. По-видимому, когда расстояние от центра связывания фосфата составляет менее 8 \AA , селективность модификации зависит от стабильности продуктов реакции, определяемой локальным белковым окружением.

Интересным следствием из полученных результатов является то, что пиридоксаль-Р и его производные можно использовать как инструмент для определения расстояний между функциональными группами активного центра ферментов в растворе и характеристики микроокружения модифицирующихся аминогрупп. В качестве примера мы изучили взаимодействие пиридоксаль-Р с РНКазой Р и S-белком. Ранее было показано, что отщепление С-концевого тетрапептида приводит к резкому снижению ферментативной активности РНКазы А [15] и к значительному повышению величины $rK_{\text{как}}$ His-12- и His-119 [16]. В то же время РНКаза Р образует специфический комплекс с 3'-СМР, причем остаток фосфата нуклеотида в активном центре РНКазы Р связывается аналогично тому, как он связан в комплексе 3'-СМР с РНКазой А [16]. Изучение хроматографического профиля продуктов реакции РНКазы Р с пиридоксаль-Р, восстановленных NaBH_4 (рис. 7), показывает, что белок модифицируется неспецифично. Следовательно, изменилось взаиморасположение имидазольных циклов His-12, His-119 и аминогрупп Lys-7 и Lys-41. Так как реакционная способность (по крайней мере, остатка Lys-41) при отщеплении С-концевого тетрапептида

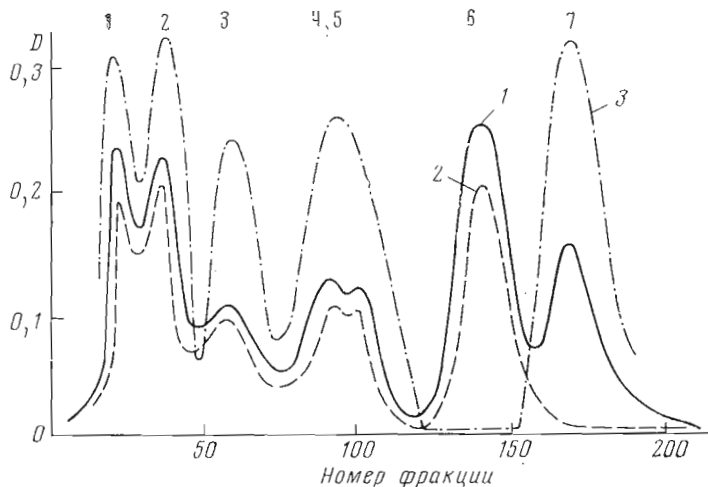


Рис. 5. Хроматографическое разделение продуктов, полученных при восстановлении NaBH_4 эквимолярной смеси РНКазы А и пиридоксаль-Ет-Р. Колонка с SP-сепадексом C-25 (2·60 см), элюция со скоростью 30 мл/ч, фракции по 7 мл. 1 и 2 — поглощение фракций соответственно при 280 и 330 нм, 3 — относительная активность фракций

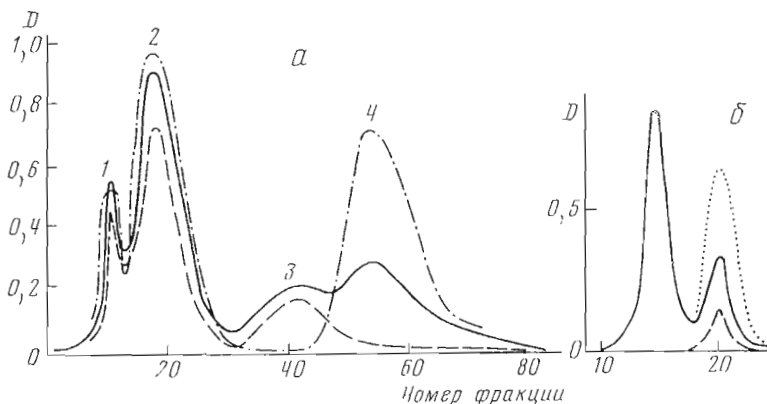


Рис. 6. Хроматографическое разделение продуктов, полученных при восстановлении NaBH_4 эквимолярной смеси РНКазы S и пиридоксаль-Р (а) и гель-фильтрация фракций 13—25 на колонке (1·75 см) с сепадексом G-75 (б). а: колонка (1·45 см) с SP-сепадексом C-25, скорость элюции 7 мл/ч, фракции по 1,6 мл. б: элюция 5%-ной муравьиной кислотой со скоростью 5 мл/ч, фракции по 1 мл. Пунктирная кривая — абсорбция фракций при 570 нм после окрашивания аликов (0,25 мл) пингидрином. Обозначения те же, что и на рис. 5

не меняется [15], то можно сделать вывод, что отмеченное нами ранее повышение $pK_{\text{акт}}$ His-12 и His-119 при превращении РНКазы А в РНКазу Р происходит за счет изменения расстояний между фосфатсвязывающим центром и $\epsilon\text{-NH}_2$ -группами Lys-7 и Lys-41. Такая дезорганизация активного центра может вызвать и потерю катализитической активности.

При хроматографическом разделении продуктов восстановления комплекса S-белка с пиридоксаль-Р было выявлено три основных пика (рис. 8). Фракция 3 на рис. 8 соответствует свободному S-белку, а фракция 2, образующаяся со значительным выходом, — производному по $\epsilon\text{-NH}_2$ -группе Lys-41. Этот вывод базируется на том, что подвижность белка из фракции 2 при хроматографии на SP-сепадексе C-25 и амберлитре IRC-50, а также его спектральные свойства идентичны соответствующим параметрам (P-Pxy)- ϵ -Lys-41-S-белка, полученного из (P-Pxy)- ϵ -Lys-41-РНКазы S. Таким об-

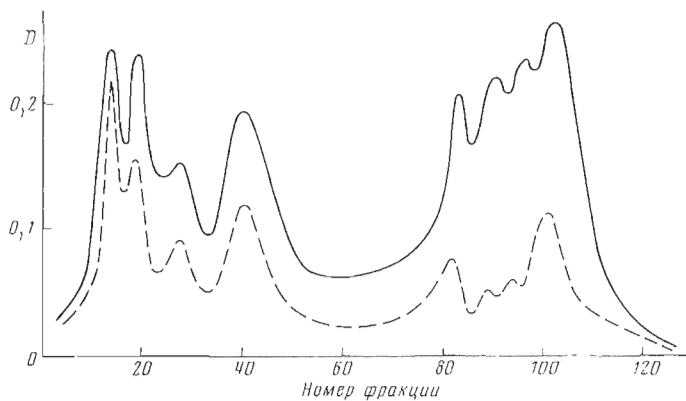


Рис. 7. Хроматографическое разделение продуктов, полученных при восстановлении NaBH_4 эквимолярной смеси РНКазы Р и пиритоксаль-Р. Колонка (1,45 см) с SP-сепадексом С-25. Скорость элюции 7 мл/ч, фракции по 1,6 мл. Обозначения те же, что на рис. 5

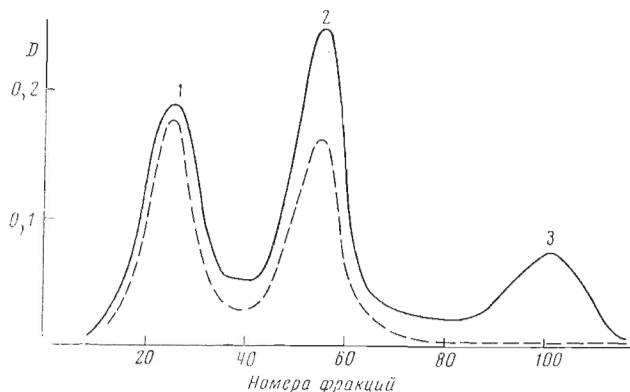
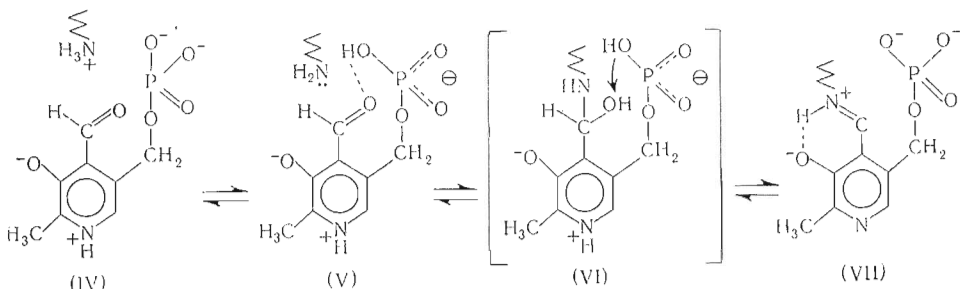


Рис. 8. Хроматографическое разделение продуктов, полученных при восстановлении NaBH_4 эквимолярной смеси пиритоксаль-Р и S-белка. Колонка (3,5·30 см) с SP-сепадексом С-25. Скорость элюции 10 мл/ч, фракции по 3,5 мл. Обозначения те же, что на рис. 5

разом, очевидно, что расстояние между $\varepsilon\text{-NH}_2$ -группой Lys-41 и остатком His-119, а также локальное окружение остатка Lys-41 в S-белке мало отличаются от соответствующих параметров активного центра РНКазы А и РНКазы S. Возможно, этим объясняется тот факт, что S-белок сохраняет способность катализировать синтез динуклеозидфосфатов из соответствующих нуклеозидов и 2',3'-циклофосфатов нуклеозидов [17].

На основании результатов, полученных при изучении взаимодействия РНКазы А с пиритоксаль-Р и его аналогами по 5'-положению, механизм модификации $\varepsilon\text{-NH}_2$ -групп остатков лизинов в активном центре РНКазы А может быть представлен в следующем виде:



Связывание пиридоксаль-Р в активном центре РНКазы А обусловлено присутствием в его молекуле отрицательно заряженного остатка фосфорной кислоты, специфически взаимодействующего с фосфатсвязывающим участком активного центра. Образовавшийся комплекс фиксируется в определенном положении многоточечными контактами между остальной частью молекулы пиридоксаль-Р и группами белка. Следствием этого является вынужденное сближение реагирующей ϵ -аминогруппы лизина, альдегидной и фосфатной групп пиридоксаль-Р (IV). В результате пространственной сближенности реагирующих групп возникает возможность переноса протона в комплексе от $\epsilon\text{-NH}_3^+$ -группы лизина к фосфорильному кислороду пиридоксаль-Р (V) с непосредственно следующим за этим присоединением нуклеофильной $\epsilon\text{-NH}_2$ -группы к активированной карбонильной группе (VI). Таким образом, пиридоксаль-Р способен при взаимодействии с РНКазой А давать нековалентный комплекс, подобный комплексу Михаэлиса с субстратом, что делает возможным образование альдиминной связи при pH 5–6, когда доля непротонированных аминогрупп РНКазы А очень мала ($pK \epsilon\text{-NH}_2$ -групп лизинов РНКазы А составляет 8–9 [18]). Преимущественная модификация аминогрупп, находящихся на расстоянии 5–8 Å от фосфатсвязывающего центра, определяется стабильностью образующегося в этом случае продукта реакции (VII), обусловленной высоким сродством пиридоксаль-Р к активному центру фермента [9]. Анализ результатов, полученных при модификации РНКазы А и РНКазы S показывает, что одним из основных факторов, обуславливающих разную стабилизацию альдиминного комплекса с Lys-7 и Lys-41, могут быть отличия в подвижности модифицируемых аминогрупп фермента, находящихся в различном локальном окружении. Можно полагать, что преимущественно модифицируется аминогруппа, обладающая большей подвижностью, так как при этом продукт реакции имеет возможность принимать конформацию, в которой обеспечивается его максимальная стабильность. Экспериментальные результаты хорошо согласуются с данными рентгеноструктурного анализа РНКазы S [11], из которых следует, что в отличие от Lys-7 остаток Lys-41 погружен в белковую глобулу и не обладает конформационной подвижностью.

Приведенная схема реакции, по-видимому, может быть общей для ферментов, субстратами которых являются производные фосфорной кислоты.

Экспериментальная часть

РНКазу А и РНКазу S получали аналогично работе [9], РНКазу Р — аналогично работе [16]. Аналоги пиридоксаль-Р были любезно предоставлены В. Л. Флорентьевым и Р. М. Хомутовым. Все использованные в работе реагенты были химически чистыми и все растворы готовились на деиницированной бидистиллированной воде.

Модификацию белков пиридоксаль-Р и его аналогами проводили по методу, описанному ранее [9]. Для разделения модифицированных ферментов использовали хроматографию на SP-сепадексе C-25, уравновешенном натрий-фосфатным буфером при pH 6,5. Разделение модифицированных препаратов РНКазы А проводили в 0,07 М фосфатном буфере, модифицированных препаратов РНКазы S — в 0,075 М фосфатном буфере, производных РНКазы Р — в градиенте фосфатного буфера 0,1–0,2 М и производных S-белка — в градиенте фосфатного буфера 0,1–0,13 М.

Концентрацию белков и модифицирующих агентов определяли спектрофотометрически. Для определения концентрации белков использовали коэффициенты молярной экстинкции, приведенные в работах, описывающих получение соответствующего фермента. Для модифицирующих агентов использовали следующие коэффициенты молярной экстинкции при pH 7,0, $\text{M}^{-1} \cdot \text{cm}^{-1}$: пиридоксаль-Р — ϵ_{388} 4900 [19], пиридоксаль-Cm — ϵ_{393} 7200 [20], пиридоксаль-Et-Р — ϵ_{320} 4200 [20], пиридоксаль-S — ϵ_{330} 1730 [21]. Фер-

ментативную активность определяли, используя в качестве субстрата РНК, как это описано в работе [9].

Спектры ПМР снимали аналогично описанному в работе [7], спектры поглощения снимали на спектрофотометрах «Unicam SP-500» (Англия) и «Specord UV — Vis» (ГДР) при 20°.

Авторы благодарны В. Г. Сахаровскому за помощь при снятии спектров ПМР.

ЛИТЕРАТУРА

1. Vallee B. L., Riordan J. F. (1969) Annual Rev. Biochem., 38, 733—794.
2. Johnson, G. S., Deal W. C. (1970) J. Biol. Chem., 245, 238.
3. Davis L. C., Brox Z. W., Gracy R. W., Ribereau-Gayon G., Horecker B. L. (1970) Arch. Biochem. and Biophys., 140, 215—222.
4. Schnackerz K. D., Holtmann F. A. (1971) Biochemistry, 10, 4837—4843.
5. Greenwell P., Jewett S. L., Stark G. R. (1973) J. Biol. Chem., 248, 5994—6001.
6. Морозов Ю. В., Бажулина Н. И., Карпейский М. Я. (1968) Химия и биология пиридоксалевого катализа, стр. 37—45, «Наука», М.
7. Карпейский М. Я., Дудкин С. М., Сахаровский В. Г., Шляпников С. В. (1974) Структура и функции активных центров ферментов, стр. 183—203, «Наука», М.
8. Raetz C. R. H., Auld D. S. (1972) Biochemistry, 11, 2229—2236.
9. Борисова С. Н., Матросов В. И., Шляпников С. В., Карпейский М. Я. (1974) Молекулярная биология, 8, 286—295.
10. Cohen J. S., Griffin J. H., Schechter A. N. (1973) J. Biol. Chem., 248, 4305—4310.
11. Wyckoff H. W., Tsernoglou D., Hanson A. W., Knox J. R., Lee B., Richards F. M. (1970) J. Biol. Chem., 245, 305—328.
12. Dudkin S. M., Karabachyan L. V., Borisova S. N., Schlyapnikov S. V., Karpeisky M. Ya., Geidarov T. G. (1975) Biochim. et biophys. acta, 386, 275—282.
13. Roberts G. C. K., Meadows D. H., Jardetzky O. (1969) Biochemistry, 8, 2053—2056.
14. Carlisle C. H., Palmer R. A., Mazumbar S. K., Gorinsky B. A., Yeates D. G. R. (1974) J. Mol. Biol., 85, 1—18.
15. Lin M. C. (1970) J. Biol. Chem., 245, 6726—6731.
16. Sacharovskiy V. G., Chervin I. I., Yakovlev G. I., Dudkin S. M., Karpeisky M. Ya., Shlyapnikov S. V. (1973) FEBS Lett., 33, 323—326.
17. Bernfield M. R. (1965) J. Biol. Chem., 240, 4753—4762.
18. Goldfarb A. R., Buchanan D. N., Sutton D. E. (1974) Bioorganic Chemistry, 3, 260—266.
19. Peterson E. A., Sober H. A. (1954) J. Amer. Chem. Soc., 76, 169—175.
20. Колобушкина Л. И., Синриданова Н. И., Флорентьев В. Л. (1974) Химия гетероциклических соединений, № 5, 655—660.
21. Kuroda H. (1963) Vitamins (Kyoto), 28, 21—31.

Поступила в редакцию
6.V.1975

MODIFICATION OF RIBONUCLEASE A BY PYRIDOXAL 5'-PHOSPHATE AND ITS ANALOGES

BORISOVA S. N., DUDKIN S. M., SHLYAPNIKOV S. V., AVRAMOVA Z. V.,
KARPEISKY M. Ya.

*Institute of Molecular Biology, Academy of Sciences
of the USSR, Moscow*

Modification of ribonuclease A, ribonuclease S, des-(121-124)-ribonuclease A and des-(1-20)-ribonuclease A by pyridoxal-P as well as modification of ribonuclease A by 5'-deoxy, 5'-carboxymethylenepyridoxal, pyridoxal-5'-sulfate and 5'-deoxy-5'-ethylphosphopyridoxal were studied. The selectivity in modification of lysine amino groups by pyridoxal-P was found to be determined by three main factors: 1. the existence of the phosphate residue in the 5'-position of the pyridoxal-P; 2. the distance between pyridoxal-P phosphate binding site in the enzyme active center and the amino group to be modified; 3. the stability of the reaction products which is dependent on the local protein environment. The possible mechanism of the active center lysines modification by pyridoxal-P was proposed.